

УДК 538.955:538.953

## ОСОБЕННОСТИ ТЕПЛОВОГО РАСШИРЕНИЯ В СПЛАВАХ ЗАМЕЩЕНИЯ НА ОСНОВЕ ТЯЖЕЛЫХ РЕДКОЗЕМЕЛЬНЫХ МЕТАЛЛОВ $R_{1-x}^I R_x^{II} Fe_2$

© 2023 г. З. С. Умхаева<sup>1,2</sup>, \*, И. С. Терёшина<sup>3</sup>, Н. Ю. Панкратов<sup>3</sup>, И. М. Алиев<sup>1,2</sup>, М. Р. Хоменко<sup>3</sup>

<sup>1</sup>Федеральное государственное бюджетное учреждение науки

Комплексный научно-исследовательский институт имени Х.И. Ибрагимова Российской академии наук,  
Грозный, Россия

<sup>2</sup>Федеральное государственное образовательное учреждение высшего образования  
“Чеченский государственный университет имени А.А. Кадырова”, Грозный, Россия

<sup>3</sup>Федеральное государственное образовательное учреждение высшего образования  
“Московский государственный университет имени М.В. Ломоносова”, Москва, Россия

\*E-mail: zargan.umhaeva@yandex.ru

Поступила в редакцию 28.09.2022 г.

После доработки 27.10.2022 г.

Принята к публикации 25.11.2022 г.

Изучены особенности поведения теплового расширения и магнитострикции в магнитоупорядоченных сплавах замещения на основе тяжелых редкоземельных металлов, а именно:  $TbFe_2$ ,  $Tb_{0.8}Zr_{0.2}Fe_2$ ,  $Tb_{0.8}Sm_{0.2}Fe_2$  и  $Gd_{0.8}Sm_{0.2}Fe_2$ . Установлено, что аномалии теплового расширения, наблюдавшиеся в сплавах, обусловлены, главным образом, конкуренцией обменных взаимодействий. В сплавах  $TbFe_2$  и  $Tb_{0.8}Zr_{0.2}Fe_2$  в широкой области температур наблюдаются особенности инвариантного типа.

DOI: 10.31857/S0367676522700594, EDN: HFRCVQ

### ВВЕДЕНИЕ

Как известно, интерметаллические соединения редкоземельных металлов с 3d-переходными металлами в определенной температурной области находятся в магнитоупорядоченном состоянии. Соединения легкая редкая земля–3d-переходный металл характеризуются ферромагнитным упорядочением спиновых магнитных моментов, а соединения с тяжелыми редкими землями – ферримагнитным. Если атомами 3d-переходного металла являются атомы Fe, которые образуют с редкоземельными элементами интерметаллические соединения стехиометрии  $RFe_2$ , то это так называемые фазы Лавеса. Фазы Лавеса встречаются в двух структурных типах: кубическая структура C15 и гексагональная – C14 [1] и обладают достаточно высокими температурами Кюри, вплоть до  $10^3$  К [2].

Возникновение упорядоченного состояния атомных магнитных моментов в фазах Лавеса обусловлено обменными взаимодействиями. В редкоземельном магнетике различают 3 типа обменного взаимодействия: 3d–3d-взаимодействие в 3d-подрешетке, R–R-взаимодействие в редкоземельной подрешетке и межподрешеточное R–3d обменное взаимодействие. Зависимость обменных взаимодействий от межатомных расстояний

приводит к некоторым особенностям на температурных зависимостях теплового расширения. Поэтому представляет интерес исследовать зависимость коэффициента теплового расширения, а также магнитострикционных констант от температуры для редкоземельных интерметаллидов  $R_{1-x}^I R_x^{II} Fe_2$  (где  $R^I = Tb$  и  $Gd$ ,  $R^{II} = Zr$  и  $Sm$ ), обладающих кубической структурой фазы Лавеса C15.

Выбор сплавов обусловлен тем, что соединение  $TbFe_2$  представляет собой ферримагнетик с температурой Кюри  $T_c = 711$  К и осью легкого намагничивания вдоль кристаллографического направления [111]. Оно достаточно давно известно своей “гигантской” магнитострикцией [3], с которой тесно связаны аномалии теплового расширения в редкоземельных интерметаллидах [1]. Однако, взаимосвязь теплового расширения, магнитострикционных характеристик с магнитным состоянием в сплавах замещения типа  $R_{1-x}^I R_x^{II} Fe_2$  изучена недостаточно.

В составах  $Tb_{0.8}Zr_{0.2}Fe_2$  и  $Tb_{0.8}Sm_{0.2}Fe_2$  20% магнитоактивных высокоанизотропных атомов тербия замещается атомами немагнитного Zr и слабомагнитного Sm, соответственно. Данные сплавы интересны тем, что в них присутствуют межподрешеточные обменные взаимодействия

противоположного знака ( $Tb$ — $Fe$  и  $Sm$ — $Fe$ ). Поэтому весь спектр магнитных свойств данных сплавов, включая и магнитострикционные, будет определяться знаком и величиной доминирующего в данной температурной области взаимодействия  $R$ — $Fe$ .

Также исследован сплав на основе тяжелого редкоземельного элемента гадолиния с аналогичным типом замещения  $Gd_{0.8}Sm_{0.2}Fe_2$ .  $Gd$  — единственный из тяжелых редкоземельных элементов, который находится в S-состоянии и влияние кристаллического поля на него пренебрежимо мало. Было важно выяснить, что же является причиной значительных магнитострикционных деформаций в его сплавах, в частности в  $Gd_{0.8}Sm_{0.2}Fe_2$ .

Исследование магнитных и магнитоупругих свойств редкоземельных интерметаллидов типа  $R_{I-x}^{I}R_x^{II}Fe_2$  является достаточно актуальной задачей для современного материаловедения в связи с поиском новых высокоеффективных материалов, пригодных для использования в области комнатных температур.

Целью данной работы являлось исследование теплового расширения и магнитострикции фаз Лавеса кубической симметрии  $TbFe_2$ ,  $Tb_{0.8}Zr_{0.2}Fe_2$ ,  $Tb_{0.8}Sm_{0.2}Fe_2$  и  $Gd_{0.8}Sm_{0.2}Fe_2$ , в которых используются различные атомы замещения (немагнитный цирконий, слабомагнитный самарий, слабоанизотропный гадолиний). Такой тип замещения окажет влияние на величину обменных взаимодействий как между подрешетками  $R$ — $Fe$ , так и внутри самой редкоземельной подрешетки.

## ОБРАЗЦЫ И МЕТОДИКА ЭКСПЕРИМЕНТА

Для проведения данных исследований нами были синтезированы редкоземельные интерметаллиды  $TbFe_2$ ,  $Tb_{0.8}Zr_{0.2}Fe_2$ ,  $Tb_{0.8}Sm_{0.2}Fe_2$  и  $Gd_{0.8}Sm_{0.2}Fe_2$ . Сплавы  $TbFe_2$ ,  $Tb_{0.8}Zr_{0.2}Fe_2$ ,  $Tb_{0.8}Sm_{0.2}Fe_2$  получены нами на основе высокочистых РЗМ и Fe в дуговой печи с нерасходуемым вольфрамовым электродом на медном водоохлаждаемом поду специальной конструкции в атмосфере очищенного инертного газа при нормальном давлении. Затем образцы подвергались гомогенизирующему отжигу в течение 2 нед. при температуре 850°C в вакууме  $10^{-3}$  мм рт. ст. Сплав на основе гадолиния  $Gd_{0.8}Sm_{0.2}Fe_2$  приготовлен индукционной плавкой высокочистых РЗМ и Fe в атмосфере очищенного аргона. Для приготовления образцов в качестве низкореактивных тиглей для R-металлов использовались алундовые тигли ( $Al_2O_3$ ). Для получения монофазы типа C15 образцы заворачивали в tantalовую фольгу, запа-

вали в кварцевые трубы с Ar и выдерживали при 1000 K в течение суток с последующей закалкой в воде.

Фазовый анализ, проведенный на рентгеновских дифрактометрах ДРОН-3 (сплавы  $TbFe_2$  и  $Tb_{0.8}Zr_{0.2}Fe_2$ ) и Empyrean Panalytical (сплавы  $Tb_{0.8}Sm_{0.2}Fe_2$  и  $Gd_{0.8}Sm_{0.2}Fe_2$ ), подтвердил однодофазность всех указанных образцов после отжига. Все соединения обладали кубической структурой фазы Лавеса C15.

Измерения теплового расширения и магнитострикции проводились тензометрическим методом (который достаточно хорошо известен [4]) в широкой области температур от 80 до 400 K.

Редкоземельные интерметаллиды  $TbFe_2$  и  $Tb_{0.8}Zr_{0.2}Fe_2$  в данной работе исследовались с помощью тензодатчиков, которые были изготовлены из тензочувствительной проволоки диаметром 30 мкм, не обладавшей заметным гальваниомагнитным эффектом. Тензодатчики имели базу 3 мм и сопротивление около 100 Ом. При исследовании образцов  $Tb_{0.8}Sm_{0.2}Fe_2$  и  $Gd_{0.8}Sm_{0.2}Fe_2$  использовались тензодатчики с базой 5 мм и сопротивлением 120 Ом. Коэффициент тензочувствительности всех датчиков был равен  $k = 2.15$ . Они обладали высокой стабильностью при всех температурах, при которых проводились исследования. Измерение магнитострикционных деформаций было выполнено во внешних магнитных полях до 14 кЭ.

## ЭКСПЕРИМЕНТАЛЬНЫЕ РЕЗУЛЬТАТЫ

Как правило, твердые тела при нагревании увеличивают свои размеры. Исследование соединения  $TbFe_2$ , известного своими анизотропными свойствами и гигантской магнитострикцией, показало, что наличие магнитного порядка оказывает существенное влияние на тепловое расширение, упругие и магнитоупругие свойства.

На рис. 1 представлены результаты измерения температурной зависимости продольной  $\lambda_{\parallel}$  и попечечной  $\lambda_{\perp}$  магнитострикции соединения  $TbFe_2$ . Там же представлены кривая теплового расширения сплава  $\Delta l/l(T)$  и коэффициент теплового расширения  $\alpha(T)$  в зависимости от температуры. Видно, что магнитострикция, достигающая при низких температурах гигантских значений ( $\approx 10^{-3}$ ), резко уменьшается при нагревании в диапазоне температур от 280 до 330 K для соединения  $TbFe_2$ . Следует отметить, что аналогичное поведение демонстрирует и сплав  $Tb_{0.8}Zr_{0.2}Fe_2$  в интервале температур от 260 до 300 K. Напомним, что температура магнитного упорядочения для  $TbFe_2$ , как было сказано выше,  $T_C = 711$  K, а для  $Tb_{0.8}Zr_{0.2}Fe_2$

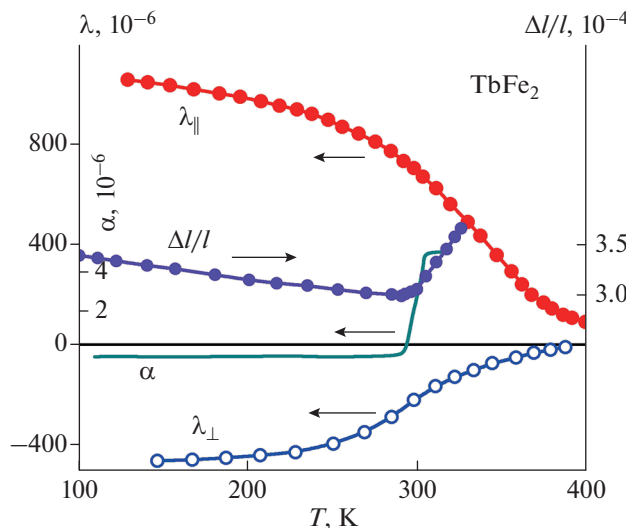


Рис. 1. Температурные зависимости продольной и поперечной магнитострикции, теплового расширения и коэффициента теплового расширения соединения  $\text{TbFe}_2$ .

$T_C = 690$  К, т.е. в два раза выше. Известно [5], что в редкоземельных магнетиках при температурах ниже температуры Кюри возникает спонтанная объемная магнитострикция  $\omega_s$ , которая обычно налагается на фононную часть теплового расширения магнетика. Если  $\omega_s < 0$ , то вызванные ею деформации могут скомпенсировать или даже полностью перекрыть эффект теплового расширения. Подобный эффект наблюдался ранее в фазах Лавеса  $\text{Zr}_{1-x}\text{Ta}_x\text{Fe}_2$  и  $\text{Zr}_{0.2}\text{Nb}_{0.3}\text{Fe}_2$  [6].

Коэффициент теплового расширения, рассчитанный по экспериментальным кривым  $\Delta l/l(T)$ , оказался отрицательным при температурах ниже комнатной  $T = 293$  К для  $\text{TbFe}_2$  и практически постоянным, близким к 0 (инвар-эффект). При температурах  $T > 293$  К коэффициент  $\alpha$  имеет положительные значения. Установлено, что для соединения  $\text{Tb}_{0.8}\text{Zr}_{0.2}\text{Fe}_2$  эта температура немного ниже, а именно, 262.8 К. Следовательно, по мере замещения тербия цирконием температура, при которой коэффициент теплового расширения  $\alpha = 0$ , смещается в сторону более низких температур. Можно утверждать, что спонтанная объемная магнитострикция  $\omega_s$ , с одной стороны уменьшается при замещении магнитоактивных атомов Tb немагнитными атомами Zr, с другой же стороны, как и магнитострикция, индуцированная внешним магнитным полем ( $\lambda_{||}$  и  $\lambda_{\perp}$ ),  $\omega_s$  возрастает по абсолютной величине наиболее резко при температурах, где происходит магнитное упорядочение подрешетки Tb (которая приобретает заметную намагниченность значительно ниже тем-

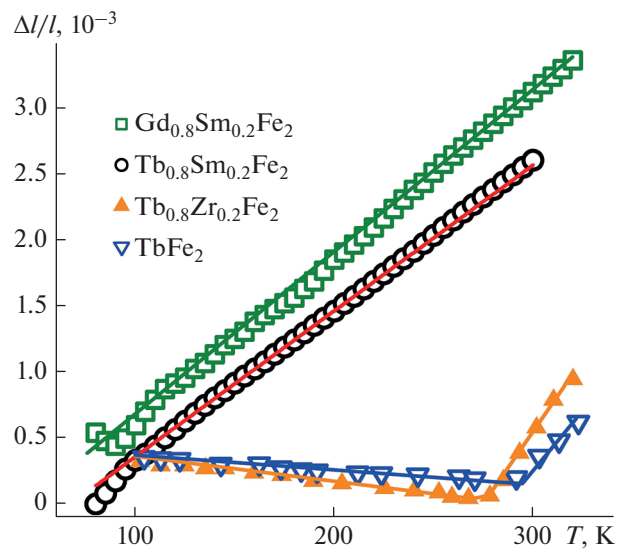
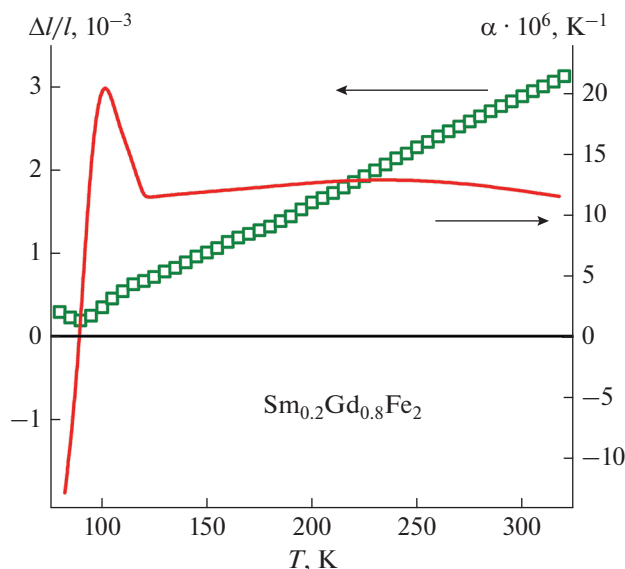


Рис. 2. Температурные зависимости теплового расширения соединений  $\text{Gd}_{0.8}\text{Sm}_{0.2}\text{Fe}_2$ ,  $\text{Tb}_{0.8}\text{Sm}_{0.2}\text{Fe}_2$ ,  $\text{Tb}_{0.8}\text{Zr}_{0.2}\text{Fe}_2$  и  $\text{TbFe}_2$ .

пературы Кюри). Аналогичное явление наблюдалось ранее на образцах системы  $\text{Er}_{1-x}\text{Zr}_x\text{Fe}_2$  в работе [7].

На кривой  $\Delta l/l(T)$  теплового расширения образца  $\text{Tb}_{0.8}\text{Sm}_{0.2}\text{Fe}_2$  (рис. 2) видна одна аномалия (при  $T \approx 100$  К). На этом же рисунке приведена кривая  $\Delta l/l(T)$  теплового расширения для состава  $\text{Gd}_{0.8}\text{Sm}_{0.2}\text{Fe}_2$ . На ней можно выделить две аномалии: одна – в области 90 К и вторая – при 180 К. Как показали наши исследования [8, 9], указанные аномалии могут быть связаны как с различным температурным поведением намагниченности отдельных подрешеток сплава (данные сплавы можно рассматривать, как трехподрешеточные магнетики), так и с явлением спиновой переориентации, связанной с подрешеткой самария [10]. В ходе комплексного исследования магнитных и магнитострикционных свойств сплавов  $\text{SmFe}_2$  [11, 12] и  $\text{Gd}_{0.8}\text{Sm}_{0.2}\text{Fe}_2$  было установлено, что аномалия на кривых  $\Delta l/l$  при температурах 180–200 К, связана со спин-переориентационном переходом (СПП) из состояния с осью легкого намагничивания (ОЛН) [111] в состояние с ОЛН [110]. Сам переход, являясь переходом второго рода, заканчивается в области низких температур (90–100 К), где и наблюдается вторая аномалия на кривых  $\Delta l/l$ .

Если сравнить поведение коэффициентов теплового расширения  $\alpha(T)$  составов  $\text{TbFe}_2$  (см. рис. 1) и  $\text{Tb}_{0.8}\text{Zr}_{0.2}\text{Fe}_2$ , с составами  $\text{Tb}_{0.8}\text{Sm}_{0.2}\text{Fe}_2$  и  $\text{Gd}_{0.8}\text{Sm}_{0.2}\text{Fe}_2$  (см. рис. 3), то наблюдается некоторое различие. В первом случае коэффициент  $\alpha$  с ростом температуры резко меняет знак с отрица-



**Рис. 3.** Температурная зависимость теплового расширения и коэффициента теплового расширения сплава  $\text{Gd}_{0.8}\text{Sm}_{0.2}\text{Fe}_2$ .

тельного на положительный (при температурах, близких к комнатной), сохраняя фиксированные значения, как отрицательные, так и положительные, в то время как, во втором случае, температурная зависимость  $\alpha(T)$  носит более сложный характер. На зависимости коэффициента теплового расширения  $\alpha(T)$  также регистрируется смена знака в области температур ниже 100 К. А в области СПП на кривой  $\alpha(T)$  наблюдается ярко выраженный пик. Однако далее с повышением температуры значения коэффициента  $\alpha$  практически не меняются.

## ЗАКЛЮЧЕНИЕ

Особенность фаз Лавеса, изученных в данной работе, заключается в том, что бинарные соединение  $\text{RFe}_2$ , лежащие в основе квазибинарных сплавов  $\text{R}_{1-x}^{\text{I}}\text{R}_x^{\text{II}}\text{Fe}_2$ , демонстрируют спонтанную и индуцированную полем магнитострикции противоположного знака. Так, соединения  $\text{RFe}_2$  ( $\text{R} = \text{Tb}$  и  $\text{Gd}$ ) обладают спонтанной магнитострикцией положительного знака, тогда как  $\text{RFe}_2$  ( $\text{R} = \text{Sm}$ ) проявляют магнитострикцию обратного знака. Это приводит к тому, что в сплавах замещения  $\text{R}_{1-x}^{\text{I}}\text{R}_x^{\text{II}}\text{Fe}_2$  ( $\text{Tb}_{0.8}\text{Sm}_{0.2}\text{Fe}_2$  и  $\text{Gd}_{0.8}\text{Sm}_{0.2}\text{Fe}_2$ ) по мере изменения температуры или величины внешнего магнитного поля наблюдается целый ряд эффектов, обусловленных конкуренцией,

главным образом, межподрешеточных обменных взаимодействий ( $\text{Tb}-\text{Fe}$ ,  $\text{Gd}-\text{Fe}$  и  $\text{Sm}-\text{Fe}$ ).

В сплавах  $\text{TbFe}_2$  и  $\text{Tb}_{0.8}\text{Zr}_{0.2}\text{Fe}_2$  присутствуют только один тип межподрешеточных обменных взаимодействий  $\text{Tb}-\text{Fe}$ . В соединении  $\text{Tb}_{0.8}\text{Zr}_{0.2}\text{Fe}_2$  атомы циркония являются немагнитными, что приводит к разбавления магнитной подрешетки тербия. Наблюдаемые аномалии теплового расширения, в том числе инварного типа, обусловлены гигантской спонтанной объемной магнитострикцией, которая возникает в них ниже температуры магнитного упорядочения.

Исследование выполнено при поддержке Российской научного фонда (проект № 22-22-00313).

## СПИСОК ЛИТЕРАТУРЫ

1. Илюшин А.С. Введение в структурную физику интерметаллических соединений. М.: МГУ, 1984. 99 с.
2. Umkhaeva Z.S., Ilyushin A.S., Nikitin S.A. et al. // J. Phys. Conf. Ser. 2020. V. 905. Art. No. 12071.
3. Белов К.П., Катаев Г.И., Левитин Р.З. и др. // УФН. 1983. Т. 140. № 2. С. 271; Belov K.P., Kataev G.I., Levitin R.Z. et al. // Sov. Phys. Usp. 1983. V. 26. No. 6. P. 518.
4. Nikitin S.A., Tereshina I.S., Verbetsky V.N. et al. // J. Alloys. Compounds. 2001. V. 322. P. 42.
5. Умхаева З.С. Структурные и магнитные фазовые превращения и сверхтонкие взаимодействия на ядре  $^{57}\text{Fe}$  в фазах высокого давления сплавов квазибинарных систем  $\text{R}_{1-x}^{\text{I}}\text{R}_x^{\text{II}}\text{M}_2$  и  $\text{R}(\text{Fe}_{1-x}\text{M}_x)_2$  ( $\text{R}$  – РЭ, М – 3d-металл). Дис. ... докт. физ.-мат. наук. Махачкала: Ин-т физ. ДНЦ РАН, 2014.
6. Sluga M. // Physica. 1975. V. 53 A. No. 4. P. 319.
7. Никитин С.А., Бислиев А.-Х.М., Куприянов А.К., Умхаева З.С. // ФТТ. 1989. Т. 31. № 9. С. 231; Nikitin S.A., Bisliev A.-Kh.M., Kupriyanov A.K., Umkhaeva Z.S. // Phys. Solid State. 1989. V. 31. No. 9. P. 231.
8. Ilyushin A.S., Tereshina I.S., Pankratov N.Yu. et al. // J. Alloys. Compounds. 2020. V. 847. Art. No. 155976.
9. Алероева Т.А., Терешина И.С., Умхаева З.С. и др. // ФТТ. 2019. Т. 61. № 12. С. 2471; Aleroева T.A., Tereshina I.S., Umkhaeva Z.S. et al. // Phys. Solid State. 2019. V. 61. No. 12. P. 2503.
10. Pankratov N.Yu., Tereshina I.S., Politova G.A. et al. // J. Magn. Magn. Mater. 2021. 527. Art. No. 167728.
11. Politova G.A., Karpenkov A.Y., Kaminskaya T.P. et al. // St. Petersburg Polytech. Univ. J. Phys. Math. 2019. V. 12. No. 1. P. 28.
12. Gaviko V.S., Korolyov A.V., Mushnikov N.V. // J. Magn. Magn. Mater. 1996. V. 157–158. P. 659.

## Features of thermal expansion in substitution alloys based on heavy rare-earth metals $R_{1-x}^I R_x^{II} Fe_2$

Z. S. Umkhaeva<sup>a, b, \*</sup>, I. S. Tereshina<sup>c</sup>, N. Yu. Pankratov<sup>c</sup>, I. M. Aliev<sup>a, b</sup>, M. R. Khomenko<sup>c</sup>

<sup>a</sup> *Ibragimov Complex Research Institute of the Russian Academy of Sciences, Grozny, 364051 Russia*

<sup>b</sup> *Kadyrov Chechen State University, Grozny, 364024 Russia*

<sup>c</sup> *Lomonosov Moscow State University, Moscow, 119991 Russia*

\*e-mail: zargan.umhaeva@yandex.ru

We consider the features of the behavior of thermal expansion and magnetostriction in magnetically ordered substitutive alloys based on heavy rare earth metals, namely:  $TbFe_2$ ,  $Tb_{0.8}Zr_{0.2}Fe_2$ ,  $Tb_{0.8}Sm_{0.2}Fe_2$  and  $Gd_{0.8}Sm_{0.2}Fe_2$ . It is found that the of thermal expansion anomalies observed in alloys are mainly due to the competition of exchange interactions. In  $TbFe_2$  and  $Tb_{0.8}Zr_{0.2}Fe_2$  alloys invar-type features are observed in a wide temperature range.